

บทที่ 1

บทนำ

การที่พิจารณาเริ่มต้นโดยให้ผลผลิตสูง สภาพคุณลักษณะและองค์ประกอบของคินที่เหมาะสมรวมทั้งปริมาณธาตุอาหารต่าง ๆ ในคินนับเป็นปัจจัยที่สำคัญ ในปัจจุบันวิทยาศาสตร์ทางคินได้เจริญก้าวหน้าขึ้นเป็นลำดับ เกษตรกรส่วนมากหันมาสนใจเกี่ยวกับการปรับปรุงคิน ซึ่งจำเป็นต้องทราบถึงสภาพของคินนั้น ๆ เป็นพื้นฐานก่อน การวิเคราะห์คินจึงมีความสำคัญอย่างมากที่จะช่วยให้การปรับปรุงคินเป็นไปได้อย่างมีประสิทธิภาพ การวิเคราะห์ธาตุควิวิชั่นโดยไนโตรเจนสีเอ็กซ์ฟลูอเรสเซนซ์ เป็นวิธีหนึ่งที่สามารถทำได้รวดเร็วกับตัวอย่างจำนวนมาก โดยการวัดความเข้มของรังสีเอ็กซ์ของธาตุที่ต้องการวิเคราะห์ซึ่งแปรผันตามปริมาณของธาตุนั้น ๆ ในตัวอย่าง ความถูกต้องของผลการวิเคราะห์ขึ้นอยู่กับความถูกต้องของการวัดความเข้มของรังสีเอ็กซ์ ซึ่งโดยทั่วไปในค่าที่วัดได้จะมีค่าไปจากความเป็นจริง เนื่องจากรังสีเอ็กซ์เนพาะตัวของธาตุต่าง ๆ มีพลังงานต่ำ ($1-100 \text{ keV}$) จึงถูกดูดกลืนโดยธาตุอื่น ๆ ที่เป็นองค์-ประกอบในตัวอย่างได้ง่าย จึงได้ทำการทดลองเพื่อศึกษาผลของแมทริกซ์ (matrix effect) เพื่อหาวิธีการและสถานะที่เหมาะสมในการวิเคราะห์ปริมาณธาตุอาหารในตัวอย่างคิน เพื่อให้ได้ผลการทดลองที่ถูกต้องยิ่งขึ้น

1.1 ประเภทของธาตุอาหารที่พิจารณา ^{1,2}

ธาตุอาหารในคินที่พิจารณาเพื่อสร้างความเริ่มต้นโดยแบ่งได้เป็น 3 ประเภท คือ

ก. **ธาตุอาหารหลัก** (primary elements) ได้แก่ ไนโตรเจน (N) ฟอสฟอรัส (P) และ

โปเตสเซียม (K) (รวมทั้งคาร์บอน ไออกไซด์ ออกซิเจน)

ข. **ธาตุอาหารรอง** (secondary elements) ได้แก่ แคลเซียม (Ca) แมกนีเซียม (Mg)

และกำมะถัน (S) ส่วนใหญ่พิจารณาไม่แสดงอาการขาดธาตุเหล่านี้ อาจพบบ้างในพืชที่ปลูกชำนาญครั้งโดยไม่มีการใส่ปุ๋นขาวหรือยับชั่มเลย คินที่จะมีปัจจัยใดก็คือ คินกรดจัดหรือค่างจัด

ค. **ธาตุอาหารเสริม** (trace elements) ได้แก่ เหล็ก (Fe) แมงกานีส (Mn) สังกะสี (Zn)

ทองแดง (Cu) ไบرون (B) โมลิบดินัม (Mo) คลอรีน (Cl) ซึ่งพิจารณาในปริมาณที่น้อยมากแต่ต้องการในปริมาณที่พอเหมาะ สำหรับอาหารจะแสดงอาการทำให้คุณภาพของผลผลิตต่ำลงในทำนองเดียวกัน สำหรับอาหารเสริมน้ำมากเกินไปก็จะเป็นพิษต่อพืช ทำให้ผลผลิตลดลง รายละเอียดของธาตุอาหารเสริมน้ำน่าสนใจ ได้แก่

(1) **เหล็ก (Fe)** เป็นส่วนประกอบของ เหล็กพอยเฟรน และเฟอริโคกอชิน ซึ่งเป็นสารสำคัญในกระบวนการถ่ายเทอเล็กตรอนในพืช นอกจากนี้เหล็กยังเป็นสารประกอบของไฮโล โกลบิน ซึ่งมีส่วนสำคัญในการจับไนโตรเจนจากอากาศโดยมักเตรียมไว้เบี่ยง เมล็ดจึงมีความสำคัญ

สำหรับพืชตระกูลถั่วมากกว่าพืชอื่น ๆ เหล็กที่เกิดขึ้นในดินดังเดิมมีอยู่ในแร่หลายชนิด พบรูปแบบในหินอัคนี และหินตะกอน ส่วนใหญ่เหล็กจะอยู่ในรูปของ ออกไซด์ , ไฮครอกไซด์ , ชัลไฟด์ และสารประกอบของชัลเฟต นอกจากนี้พบติดอยู่ในโครงสร้างของคิโนเนียหัวใจชนิด ในดินที่เป็นกรด การละลายของเหล็กจะมีมากขึ้นและเหล็กจะอยู่ในรูปของ ไอออน (Fe^{3+}) ในดินนาทรีอุดินที่มีน้ำซึ้งเหล็กจะอยู่ในรูปคลอออกซิเจน กือ Fe^{2+} ซึ่งพืชนำไปใช้ได้ทั้งสองรูป

เนื่องจากเหล็กช่วยในการกระบวนการเสริมสร้างคลอโรฟิลล์ พืชที่ขาดเหล็กจะมีใบสีเหลืองซึ่ค ลักษณะดันและทรงพุ่มเคระแกร็นมีขนาดเล็ก ลักษณะขาดธาตุเหล็กจะเกิดขึ้นที่ยอดและใบอ่อนมากกว่าใบแก่ เส้นแกนใบจะเขียวในขณะที่พื้นที่ระหว่างโครงใบจะมีสีเหลืองทำให้เกิดความลายของเส้นแกน (vein) ชัลเจน พืชที่ขาดเหล็กมักมีใบหนาเล็กและขยายกระด้าง บางครั้งไม่ให้ผลผลิตเลย เหล็กจะขาดมากในดินที่มีหินปูนมากและในดินที่เป็นด่าง สำหรับดินที่มีการระบายน้ำแล้ว มีสภาพน้ำซึ้งติดต่อกันเป็นเวลานานพืชก็อาจขาดเหล็กได้

(2) แมงกานีส (Mn) มีหน้าที่เกี่ยวกับปฏิกิริยาออกซิเดชัน (oxidation) และรีดักชัน (reduction) ในกระบวนการเคลื่อนย้ายอิเล็กตรอนและเป็นตัวกระตุ้นให้ออนไซน์ทำงาน แมงกานีสที่พบส่วนมากอยู่ในรูปของออกไซด์ ไฮครอกไซด์ ชิลิกेट และชัลไฟด์ ส่วนใหญ่ปริมาณแมงกานีสทั้งหมด (total form) พบรูปในหน้าดินโดยเฉลี่ยประมาณ 2,500 ส่วนต่อส้านส่วน แมงกานีสในดินส่วนใหญ่ได้มามากจากการถ่ายตัวของแร่ธาตุพวกไฟโรกูไทร์ ჟูต์มานีน์ แมนไนท์ และพวงสารอินทรีย์ติดตุในดินที่มีสภาพเป็นกรดแมงกานีสจะอยู่ในรูปสารละลายและพืชสามารถดูดไปใช้ได้สะดวก รูปของแมงกานีสที่เป็นประโยชน์อยู่ในดินคือ Mn^{2+} และ Mn^{3+}

ธาตุอาหารแมงกานีสที่มีอยู่ในดิน ถ้ามีมากเกินควรก็จะเกิดเป็นพิษและขาดความสมดุลกับธาตุอื่น ท้ามีน้อยไปจะเกิดการขาดธาตุอาหารขึ้นในพืช ลักษณะการขาดธาตุแมงกานีสที่เกิดขึ้นในพืชสามารถสังเกตได้คือ พืชจะแสดงการขาดสารคลอโรฟิลล์ทำให้ใบเป็นสีเหลืองหรือขาวในบริเวณพื้นที่ระหว่างเส้นใบ หรือเป็นแถบสีเทาๆแก่อ่อนบนใบไปกับเส้นใบและเส้นกลางใบ ซึ่งลักษณะอาการนี้บ่งครั้งก็เหมือน ๆ กับการขาดธาตุสังกะสีและเหล็ก หากพืชขาดธาตุแมงกานีสมาก ๆ ในอาจเป็นสีขาวหรือใหม่แห้งตายไปในที่สุด

(3) สังกะสี (Zn) มีหน้าที่เกี่ยวกับกระบวนการเมตาโบลิซึมของออกซิน (auxin) ซึ่งเป็นสารที่ควบคุมการเจริญเติบโตของพืช ธาตุสังกะสีซึ่งมีหน้าที่ในการสร้างนิวคลีโอไทด์และเป็นส่วนประกอบของเอนไซม์ คือ ไฮดรอกซีเนส สังกะสีพบได้ในดินในรูปของแร่ธาตุที่ถูกตัวได้ดี และยังพบได้ในอินทรีย์ตัดตุ ในดินทั่ว ๆ ไปจะมีสังกะสีที่ละลายได้อยู่ประมาณ 1-20 ส่วนต่อส้านส่วน และสังกะสีนี้จะพบว่ามีการละลายตัวได้ดีในดินที่มีสภาพเป็นกรด

ข้าวโพดและถั่วบางครั้งจะมีความไวกับธาตุนี้ ลักษณะอาการแสดงออกในใบอ่อนที่เริ่มเจริญเติบโต เช่น ใบยอดของข้าวโพดจะเป็นสีขาวและลักษณะของข้อหรือปล้อง ยอดใบจะรวมกันคล้าย ๆ กับพุ่มโคลฟ้าไปเรียกอาการนี้ว่า “rosetting” หรือมีลักษณะในส่วนล่างเป็นทางขาวเรียกว่า “white bud” อาการคล้ายกับโรครา่น้ำค้างมาก บางครั้งจะทำให้ใบร่วง หรือไม่ออกดอกในพืชบางชนิด ที่แสดงอาการขาดธาตุอย่างหนัก ปริมาณธาตุอาหารสังกะสีในระดับปกติจะอยู่ในระดับประมาณ 25-150 ส่วนในส้านส่วนในเดือนพืช

(4) ทองแดง (Cu) มีหน้าที่เกี่ยวกับการสร้างลิกนิน (lignin) และเป็นส่วนประกอบของเอนไซม์ ออกซิเดต (ascobic oxidase) ทองแดงมีความสำคัญในการสะสมธาตุเหล็ก และมีส่วนเกี่ยวข้องกับการเมตาบอลิซึมของพลาติมัน ในกระบวนการและปฏิกิริยาของระบบหายใจ

ธาตุทองแดงที่พิชิตดูดไปใช้อยู่ในรูปของ Cu^{2+} บางครั้งอยู่ในรูปของเกลือและสารประกอบอนินทรีย์ แร่ทองแดงในดินส่วนใหญ่อยู่ในรูปของออกไซด์และชัลเฟต

พิชิตขาดธาตุทองแดงจะพบได้ที่ในอ่อน คือจะเหลืองซีดและเริ่มไหม้ จนในที่สุดจะทำให้พืชเกร็งและตายในที่สุด อาการขาดธาตุนี้จะมีส่วนคล้ายกับการขาดธาตุโปเตสเซียมในพืช เช่น ข้าวโพด จะมีสีซีดในใบอ่อนและจะแห้งตายไป พิชิตใบจะแห้งไม่ต่อเนื่้าเป็นจุดม้วนและไม่ออกดอก

1.2 การวิเคราะห์ด้วยวิธีรังสีเอ็กซ์ฟลูออเรสเซนซ์⁴

1.2.1 ทฤษฎีพื้นฐานของรังสีเอ็กซ์

ก. ประวัติของรังสีเอ็กซ์

1895 Roentgen ค้นพบรังสีเอ็กซ์และได้อธิบายถึงสมบัติมูลฐาน

1905 Barkla ได้ศึกษารังสีเอ็กซ์และสมบัติการแพร่งรังสี (fluorescent radiation)

1912 Laue ได้แสดงให้เห็นถึงปรากฏการณ์การเลี้ยวเบนของรังสีเอ็กซ์ (X-ray diffraction phenomenon) ในผลึกของแข็ง

1913 Bragg พบว่าความยาวคลื่นของรังสีเอ็กซ์มีค่าน้อยกว่าความยาวคลื่นของแสงสีขาว (visible) ประมาณ 1,000 เท่า

1913 Moseley ได้ค้นพบความสัมพันธ์ที่ว่า $E_{XR} \approx Z^2$ และ $I_{XR} \approx c$ เมื่อ E_{XR} และ I_{XR} เป็นพลังงานและความเข้มของรังสีเอ็กซ์ Z คือเลขอะตอม c คือความเร็วแสง

1914 โครงสร้างอะตอมของ Bohr สามารถใช้อธิบายดำเนินคือของรังสีเอ็กซ์ได้

1948 Friedman และ Birks ร่วมกันสร้าง X-ray spectrometer ได้เป็นครั้งแรก

และตั้งแต่ปี 1965 ก็ได้มีการนำวิธี X-ray Fluorescence Analysis (XRFA) ไปใช้กันอย่างแพร่หลาย

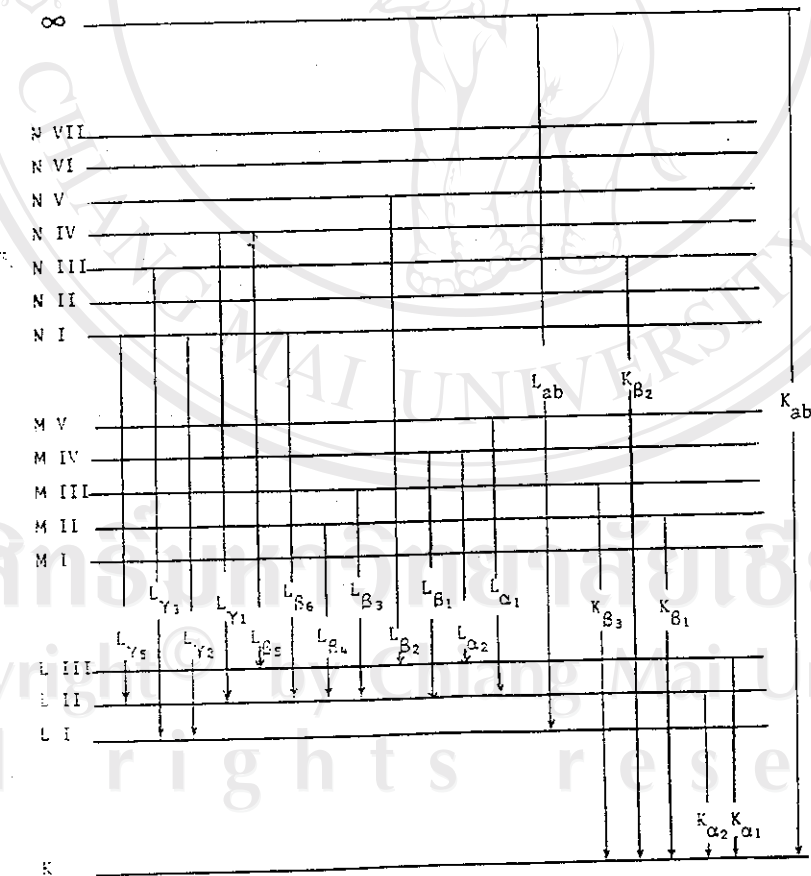
๔. กรรมภาพของรังสีเอ็กซ์

รังสีเอ็กซ์เป็นคลื่นแม่เหล็กไฟฟ้าที่มีพลังงานอยู่ระหว่างพลังงานของช่วงอุตตราไวโอลেต (UV) และรังสีแกรมมา (gamma ray) คือมีความยาวคลื่นประมาณ 1-100 keV หรือ 0.1-10 Å และจาก $E = h\nu$ จะได้ความสัมพันธ์ระหว่างพลังงานกับความยาวคลื่น ดังนี้

$$E (\text{keV}) = 12.4 / \lambda (\text{\AA})$$

1.2.2 การวิเคราะห์รังสีเอ็กซ์ (X-ray fluorescence)

เมื่ออิเล็กตรอนที่อยู่ในระดับพลังงานขั้นในสุด ได้รับพลังงานจากรังสีเอ็กซ์จะหลุดออกจากระดับนั้น ซึ่งจะมีผลทำให้เกิดความไม่สมดุลย์ทางไฟฟ้า อิเล็กตรอนจากสภาวะที่มีพลังงานสูงกว่าจึงเข้ามาแทนที่ เพื่อปรับให้เกิดสภาวะสมดุลย์ทางไฟฟ้า เช่นเดิม ในการเข้ามาแทนที่นี้ จะมีการปลดปล่อยพลังงานส่วนเกิน ออกมาในรูปของรังสีเอ็กซ์ขาว (fluorescence X-ray) ที่เรียกว่ารังสีเอ็กซ์เฉพาะตัว เนื่องจากพลังงานหรือความยาวคลื่นของรังสีเอ็กซ์นี้จะมีค่าเฉพาะตัว สำหรับธาตุนั้น ๆ ซึ่งจะมีผลในทางวิเคราะห์



รูปที่ 1.1 ชั้นพลังงานของอะตอม และการเคลื่อนที่ของอิเล็กตรอนเมื่อเกิดที่ว่างพร้อมทั้งชนิดของรังสีเอ็กซ์เฉพาะตัวที่เกิดขึ้น

จากรูปที่ 1.1 แสดงให้เห็นถึงการย้ายตำแหน่งของอิเล็กตรอนระหว่างชั้นพลังงาน (electron transition) ภายในอะตอมจากชั้น $L \rightarrow K$, $M \rightarrow L$, $M \rightarrow K$ พลังงานของรังสีเอ็กซ์เพาะ ตัวมีค่าเท่ากับ ผลต่างของพลังงานยึดเหนี่ยวระหว่างอิเล็กตรอนในชั้นที่เกิดการชนชั้น (transition probability) คือ $\alpha > \beta > \gamma$ การเปลี่ยนระดับพลังงานที่ให้รังสีเอ็กซ์ออกน่า จะกำหนดด้วย สัญลักษณ์ เช่น $Ni - K\alpha_1$, $U - L\alpha_2$

ตารางที่ 1.1 พลังงานยึดเหนี่ยวของอิเล็กตรอนรอบนิวเคลียส และพลังงานรังสีเอ็กซ์เพาะตัว⁵

X-Ray Critical-Absorption and Emission Energies in kev

Atomic Num- ber	Element	K series					L series							
		$K\alpha$	$K\beta_1$	$K\beta_2$	$K\alpha_1$	$K\alpha_2$	$L_{I\alpha}$	$L_{II\alpha}$	$L_{III\alpha}$	$L\gamma_1$	$L\beta_2$	$L\beta_1$	$L\alpha_1$	
1	Hydrogen	0.0136†												
2	Helium	0.0246†												
3	Lithium	0.055				0.052								
4	Beryllium	0.116‡				0.110								
5	Boron	0.192†				0.185								
6	Carbon	0.283				0.282								
7	Nitrogen	0.399				0.392								
8	Oxygen	0.531				0.528								
9	Fluorine	0.687†				0.677								
10	Neon	0.874*				0.851§	0.048†	0.022†	0.022†					
11	Sodium	1.08*	1.067	1.041		0.055†	0.034§	0.034§						
12	Magnesium	1.303	1.297	1.254		0.063	0.050	0.049						
13	Aluminum	1.559	1.553	1.487	1.486	0.087	0.073**	0.072**						
14	Silicon	1.838	1.832	1.740	1.739	0.118*	0.099**	0.098**						
15	Phosphorus	2.142	2.136	2.015§	2.014§	0.153*	0.129§	0.128§						
16	Sulphur	2.470	2.464	2.308	2.306	0.193*	0.164**	0.163**						
17	Chlorine	2.819‡	2.815	2.622	2.621	0.236*	0.203§	0.202§						
18	Argon	3.203	3.192§	2.957	2.955	0.287*	0.247**	0.245**						
19	Potassium	3.607	3.589	3.313	3.310	0.341*	0.297**	0.294**						
20	Calcium	4.038	4.012	3.691	3.688	0.399*	0.352	0.349			0.344	0.341		
21	Scandium	4.496	4.460	4.090	4.085	0.462*	0.411**	0.406**			0.399	0.395		
22	Titanium	4.064	4.031	4.510	4.504	0.530*	0.460**	0.454**			0.458	0.452		
23	Vanadium	5.463	5.427	4.952	4.944	0.604*	0.510**	0.512**			0.519	0.510		
24	Chromium	5.988	5.946	5.414	5.405	0.679*	0.583**	0.574**			0.581	0.571		
25	Manganese	6.637	6.400	5.898	5.887	0.762*	0.650**	0.639**			0.647	0.636		
26	Iron	7.111	7.057	6.403	6.390	0.849*	0.721**	0.708**			0.717	0.704		
27	Cobalt	7.709	7.649	6.930	6.915	0.929*	0.794**	0.779**			0.790	0.775		
28	Nickel	8.331	8.328	8.264	8.477	7.460	1.015*	0.871**	0.853**			0.866	0.849	
29	Copper	8.980	8.976	8.904	8.047	8.027	1.100*	0.953	0.933			0.948	0.928	
30	Zinc	9.060	9.657	9.571	8.638	8.015	1.200*	1.015	1.022			1.032	1.009	
31	Gallium	10.368	10.365	10.263	9.251	9.234	1.30*	1.134**	1.117**			1.122	1.096	
32	Germanium	11.103	11.100	10.981	9.885	9.854	1.42*	1.248**	1.217**			1.216	1.186	
33	Arsenic	11.863	11.863	11.725	10.543	10.507	1.529	1.359	1.323			1.317	1.282	
34	Selenium	12.652	12.651	12.495	11.221	11.181	1.652	1.473	1.434			1.419	1.379	
35	Bromine	13.475	13.465	13.290	11.923	11.877	1.794§	1.599**	1.552**			1.526	1.480	
36	Krypton	14.323	14.313	14.112	12.648	12.597	1.931§	1.727**	1.675**			1.638§	1.587**	
37	Rubidium	15.201	15.184	14.960	13.394	13.335	2.067	1.866	1.806			1.752	1.694	1.692
38	Strontium	16.106	16.083	15.834	14.164	14.097	2.221	2.008	1.941			1.872	1.806	1.805
39	Yttrium	17.037	17.011	16.736	14.957	14.882	2.369	2.154	2.079			1.996	1.922	1.920
40	Zirconium	17.998	17.969	17.666	15.774	15.690	2.547	2.305	2.220	2.302	2.219	2.124	2.042	2.040
41	Niobium	18.987	18.951	18.621	16.614	16.520	2.706	2.467**	2.374	2.462	2.367	2.257	2.166	2.163
42	Molybdenum	20.002	19.964	19.607	17.478	17.373	2.884	2.627	2.523	2.623	2.518	2.395	2.293	2.290
43	Technetium	21.054§	21.012§	-20.585¶	18.410¶	18.328¶	3.054§	2.795§	2.677§	2.792§	2.674§	2.538§	2.424§	2.420§
44	Ruthenium	22.118	22.072	21.655	19.278	19.149	3.236§	2.966	2.837	2.964	2.836	2.683	2.558	2.554
45	Rhodium	23.224	23.169	22.721	20.214	20.072	3.419	3.145	3.002	3.144	3.001	2.834	2.696	2.692

ตารางที่ 1.1 (ต่อ)

Atomic Number	Element	K series						L series						
		K _α	K _β	K _β '	K _α '	K _α ''	L _{II}	L _{III}	L _{III} '	L _γ	L _β	L _β '	L _α	
46	Palladium	24.347	24.297	23.816	21.175	21.018	3.617	3.329	3.172	3.328	3.172	2.990	2.838	2.833
47	Silver	25.517	25.454	24.942	22.162	21.988	3.810	3.528	3.352	3.519	3.348	3.151	2.984	2.978
48	Cadmium	26.712	26.641	26.093	23.172	22.982	4.019	3.727	3.538	3.716	3.528	3.316	3.133	3.127
49	Indium	27.928	27.859	27.274	24.207	24.000	4.237	3.939	3.729	3.920	3.713	3.487	3.287	3.279
50	Tin	29.190	29.106	28.483	25.270	25.042	4.464	4.157	3.928	4.131	3.904	3.662	3.444	3.435
51	Antimony	30.486	30.387	29.723	26.357	26.109	4.697	4.381	4.132	4.347	4.100	3.843	3.605	3.595
52	Tellurium	31.809	31.698	30.993	27.471	27.200	4.938	4.613	4.341	4.570	4.301	4.029	3.769	3.755
53	Iodine	33.164	33.016	32.292	28.610	28.315	5.190	4.856	4.559	4.800	4.507	4.220	3.937	3.926
54	Xenon	34.579	34.446	33.644	29.802	29.485	5.452	5.104	4.782	5.036	4.720	4.422	4.111	4.098
55	Cesium	35.959	35.819	34.984	30.970	30.623	5.720	5.358	5.011	5.280	4.936	4.620	4.286	4.272
56	Barium	37.410	37.255	36.376	32.191	31.815	5.995	5.623	5.247	5.531	5.156	4.828	4.467	4.451
57	Lanthanum	38.931	38.728	37.799	33.440	33.033	6.283	5.894	5.489	5.789	5.384	5.043	4.651	4.635
58	Cerium	40.449	40.231	39.255	34.717	34.276	6.561	6.165	5.729	6.052	5.613	5.262	4.840	4.823
59	Praseodymium	41.998	41.772	40.746	36.023	35.548	6.846	6.443	5.968	6.322	5.850	5.489	5.034	5.014
60	Neodymium	43.571	43.298	42.269	37.359	36.845	7.144	6.727	6.215	6.602	6.090	5.722	5.230	5.208
61	Promethium	45.207	44.955	-43.945	38.649	38.160	7.448	7.018	6.466	6.891	6.336	5.956	5.431	5.408
62	Samarium	46.846	46.553	45.400	40.124	39.523	7.754	7.281	6.721	7.180	6.587	6.206	5.636	5.609
63	Europium	48.515	48.241	47.027	41.529	40.877	8.069	7.624	6.983	7.478	6.842	6.456	5.846	5.816
64	Gadolinium	50.229	49.961	48.718	42.983	42.280	8.393	7.940	7.252	7.788	7.102	6.714	6.059	6.027
65	Terbium	51.998	51.737	50.391	44.470	43.737	8.724	8.258	7.519	8.104	7.368	6.979	6.275	6.241
66	Dysprosium	53.789	53.491	52.178	45.985	45.193	9.083	8.621	7.850	8.418	7.638	7.249	6.495	6.457
67	Holmium	55.615	55.292	53.934	47.528	46.686	9.411	8.920	8.074	8.748	7.912	7.528	6.720	6.680
68	Erbium	57.483	57.088	55.690	49.099	48.205	9.776	9.263	8.364	9.089	8.188	7.810	6.948	6.904
69	Thulium	59.335	58.969	57.575	50.730	49.762	10.144	9.628	8.652	9.424	8.472	8.103	7.181	7.135
70	Ytterbium	61.303	60.959	59.352	52.360	51.326	10.486	9.977	8.943	9.779	8.758	8.401	7.414	7.367
71	Lutecium	63.304	62.946	61.282	54.063	52.959	10.867	10.345	9.241	10.142	9.048	8.708	7.654	7.604
72	Hafnium	65.313	64.936	63.209	55.757	54.579	11.264	10.734	9.556	10.514	9.346	9.021	7.898	7.843
73	Tantalum	67.400	66.999	65.210	57.524	56.270	11.676	11.130	9.876	10.892	9.649	9.341	8.145	8.087
74	Tungsten	69.508	69.090	67.233	59.310	57.973	12.090	11.535	10.198	11.283	9.959	9.670	8.396	8.333
75	Rhenium	71.662	71.220	69.298	61.131	59.707	12.522	11.955	10.531	11.684	10.273	10.008	8.651	8.584
76	Osmium	73.860	73.393	71.404	62.991	61.477	12.965	12.383	10.869	12.094	10.596	10.354	8.910	8.840
77	Iridium	76.097	75.605	73.549	64.886	63.278	13.413	12.819	11.211	12.509	10.918	10.706	9.173	9.098
78	Platinum	78.379	77.866	75.736	66.820	65.111	13.873	13.268	11.559	12.939	11.249	11.069	9.441	9.360
79	Gold	80.713	80.165	77.968	68.794	66.980	14.353	13.733	11.919	13.379	11.582	11.439	9.711	9.625
80	Mercury	83.106	82.526	80.258	70.821	68.894	14.841	14.212	12.285	13.828	11.923	11.823	9.987	9.896
81	Thallium	85.517	84.904	82.558	72.860	70.820	15.346	14.697	12.657	14.288	12.268	12.210	10.266	10.170
82	Lead	88.001	87.343	84.922	74.957	72.794	15.870	15.207	13.044	14.762	12.620	12.611	10.549	10.448
83	Bismuth	90.521	89.833	87.335	77.097	74.805	16.393	15.716	13.424	15.244	12.977	13.021	10.836	10.729
84	Polonium	93.112	92.386	89.809	79.296	76.868	16.935	16.244	13.817	15.740	13.338	13.441	11.128	11.014
85	Astatine	95.740	94.976	92.319	81.525	78.956	17.490	16.784	14.215	16.248	13.705	13.873	11.424	11.304
86	Radon	98.418	97.616	94.877	83.800	81.080	18.058	17.337	14.618	16.768	14.077	14.316	11.724	11.597
87	Francium	101.147	100.305	97.483	86.119	83.243	18.638	17.904	15.028	17.301	14.459	14.770	12.029	11.894
88	Radium	103.927	103.048	100.136	88.485	85.446	19.233	18.481	15.442	17.845	14.839	15.233	12.338	12.194
89	Actinium	106.759	105.838	102.846	90.894	87.681	19.842	19.078	15.865	18.405	15.227	15.712	12.650	12.499
90	Thorium	109.630	108.671	105.592	93.334	89.942	20.460	19.688	16.296	18.977	15.620	16.200	12.966	12.808
91	Protactinium	112.581	111.575	108.408	95.851	92.271	21.102	20.311	16.731	19.559	16.022	16.700	13.291	13.120
92	Uranium	115.591	114.549	111.289	98.428	94.648	21.753	20.943	17.163	20.163	16.425	17.218	13.613	13.438
93	Neptunium	118.619	117.533	114.181	101.005	97.023	22.417	21.596	17.614	20.774	16.837	17.740	13.945	13.758
94	Plutonium	121.720	120.592	117.146	103.653	99.457	23.097	22.262	18.066	21.401	17.254	18.278	14.279	14.082
95	Americium	124.876	123.706	120.163	106.351	101.932	23.793	22.944	18.525	22.042	17.677	18.829	14.618	14.411
96	Curiom	128.088	126.875	123.235	109.098	104.448	24.503	23.640	18.990	22.699	18.106	19.393	14.961	14.743
97	Berkelium	131.357	130.101	126.362	111.896	107.023	25.230	24.352	19.461	23.370	18.540	19.971	15.309	15.079
98	Californium	134.683	133.383	129.544	114.745	109.603	25.971	25.080	19.938	24.056	18.980	20.562	15.661	15.420
99		138.067	136.724	132.781	117.646	112.244	26.729	25.824	20.422	24.758	19.426	21.166	16.018	15.764
		141.510	140.122	136.075	120.598	114.926	27.503	26.584	20.912	25.475	19.879	21.785	16.379	16.113

For $Z \leq 69$, values without symbols are derived from (1). Values prefixed with a minus sign are $K\beta_{i+1}$.

For $Z \geq 70$, absorption-edge values are from (4) in the case of $Z = 70-83$, 85, 90, and 92; remaining absorption edges to $Z = 100$ are obtained from these by least-squares quadratic fitting. All emission values for $Z \geq 70$ are derived from the preceding absorption edges, and others based on (4), using the transition relations $K\alpha_i = K\alpha - L_{II}$, $K\alpha_i = K\beta - L_{III}$, $K\beta_i = K\beta - M_{III}$, etc.

* Obtained from R. D. Hill, E. L. Church, J. W. Milne (5). † Derived from Compton and Allison (6). ‡ Derived from C. E. Moore (3).

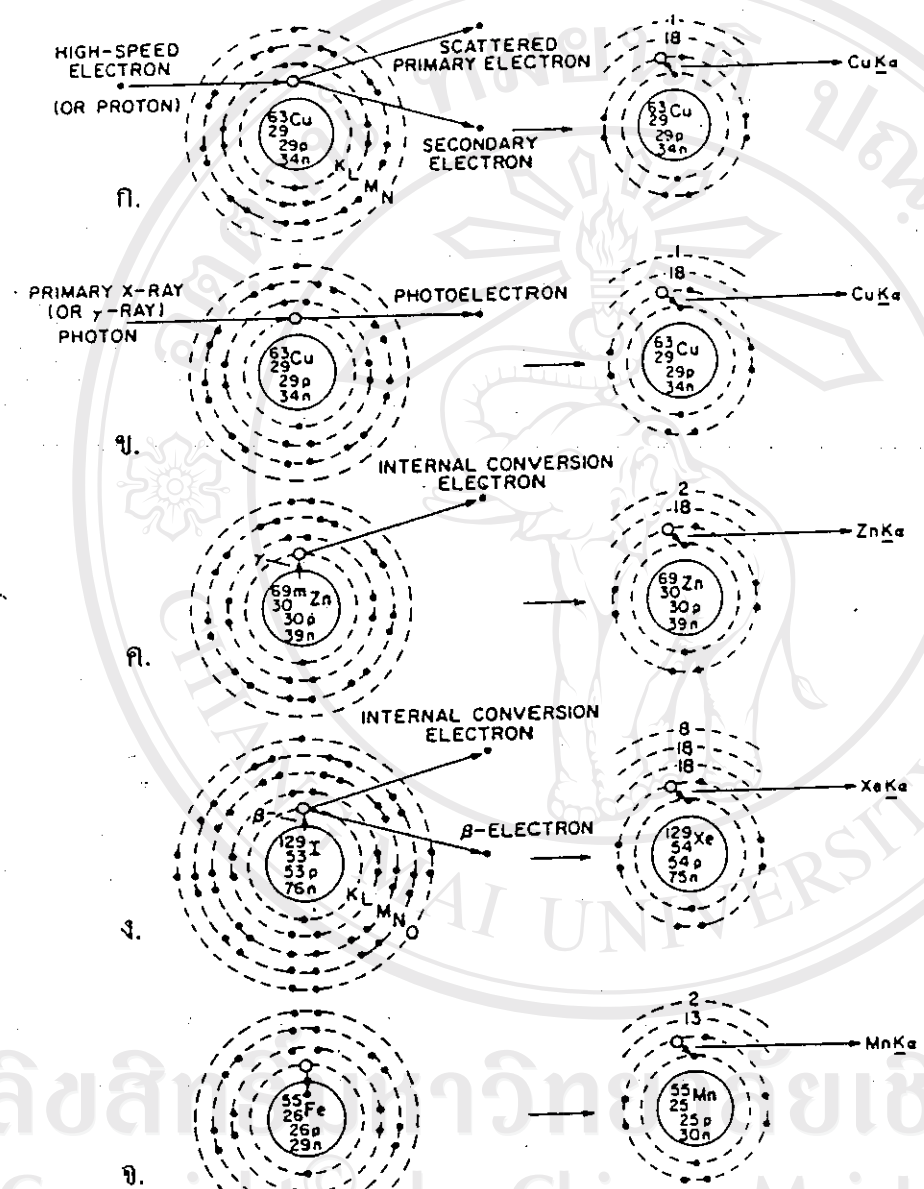
§ Values derived from Cauchy and Hulubei (1) which deviate from the Moseley law. Better-fitting values are: $Z = 17$, $K\alpha_i = 2.826$; $Z = 43$, $K\alpha_i = 18.370$, $K\alpha_i = 18.250$, $K\beta_i = 20.612$; $Z = 54$, $K\alpha_i = 29.779$, $K\alpha_i = 29.463$, $K\beta_i = 34.398$; $Z = 60$, $K\beta_i = 43.349$; $Z = 61$, $K\alpha_i = 38.726$, $K\alpha_i = 38.180$, $K\beta_i = 43.811$; $Z = 62$, $K\beta_i = 46.581$. $L_{II} = 7.312$; $Z = 66$, $L_{II} = 8.591$, $L_{III} = 7.790$; $Z = 69$, $K\alpha_i = 59.882$, $K\beta_i = 57.487$.

** Calculated by method of least squares.

*** Calculated by transition relations.

1.2.3 การเกิดรังสีเอ็กซ์ (generation of X-ray)

รังสีเอ็กซ์อาจเกิดได้จากการกระตุ้นสารโดยการยิงอนุภาคที่มีพลังงานสูง เช่น อิเล็กตรอน โพตอน หรือ รังสีเอ็กซ์โพตอน (X-ray photon) จนทำให้อิเล็กตรอนหลุดออกจากวงโคจรภายในอะตอม นอกจานั้นรังสีเอ็กซ์ยังเกิดจากการถ่ายตัวของไอโซโทปรังสีได้เช่นกัน



รูปที่ 1.2 กระบวนการเกิดรังสีเอ็กซ์⁴

ก. การกระตุ้นแบบปั๊มน้ำ

ข. การกระตุ้นแบบทุ่มยุบ

ค., ง., จ. เกิดต่อเนื่องจากการถ่ายตัวของไอโซโทปรังสี

1.2.3.1 การวิเคราะห์จากการกระตุนอะตอม อาจแบ่งได้เป็น 2 ประเภทคือ

(1) การกระตุนแบบปฐมภูมิ (primary excitation) โดยการทำให้อิเล็กตรอนของอะตอมหลุดออกไปโดยการยิง (bombard) อะตอมของสารศัวยอนุภาค เช่น อิเล็กตรอน , โปรตอน , แอลฟ่า หรือไอโอดินที่มีความเร็วสูง ทำให้เกิดรังสีเอ็กซ์เฉพาะตัวดังรูปที่ 1.2 (ก) รังสีเอ็กซ์ที่เกิดแบบนี้พบในหลอดรังสีเอ็กซ์ (X-ray tube) และในเครื่องเร่งอนุภาคต่าง ๆ ความเข้มของรังสีเอ็กซ์เฉพาะตัวขึ้นอยู่กับความเร็วของอนุภาคที่ใช้ยิง ส่วนพลังงานขึ้นอยู่กับชนิดของสารที่เป็นเป้า

(2) การกระตุนแบบทุติกุมิ (secondary excitation) หรือการวิเคราะห์รังสีเอ็กซ์ (fluorescence) คือการทำให้อิเล็กตรอนหลุดออกไปจากอะตอมโดยใช้ไฟตอน ซึ่งอาจเป็นรังสีเอ็กซ์ หรือรังสีแกรมมา ไฟตอนจะถ่ายเทพลังงานให้อะตอม พลังงานส่วนหนึ่งจะถูกนำไปใช้ทำให้อิเล็กตรอนหลุดออกไป พลังงานส่วนที่เหลือเป็นพลังงานคงเหลือของอิเล็กตรอนที่หลุดออกที่เรียกว่า Photoelectron จึงเกิดการวิเคราะห์ตามมาดังรูปที่ 1.2 (ข)

1.2.3.2 การวิเคราะห์เอ็กซ์แบบต่อเนื่องจากกรณีของไอโซโทปรังสี

อาจแบ่งได้เป็น 3 ประเภทคือ

(1) ไอโซโทปที่สามารถตัวให้รังสีแกรมมา ถ้ารังสีแกรมมาไม่พังงานพอเหมาะสมก็สามารถทำให้อิเล็กตรอนของอะตอมไอโซโทปนี้หลุดออกไปได้ แต่กระบวนการนี้เกิดขึ้นในอะตอมเองซึ่งเรียกว่า internal conversion electron และเกิดการวิเคราะห์ติดตามของอิเล็กตรอนในรูปที่ 1.2 (ก)

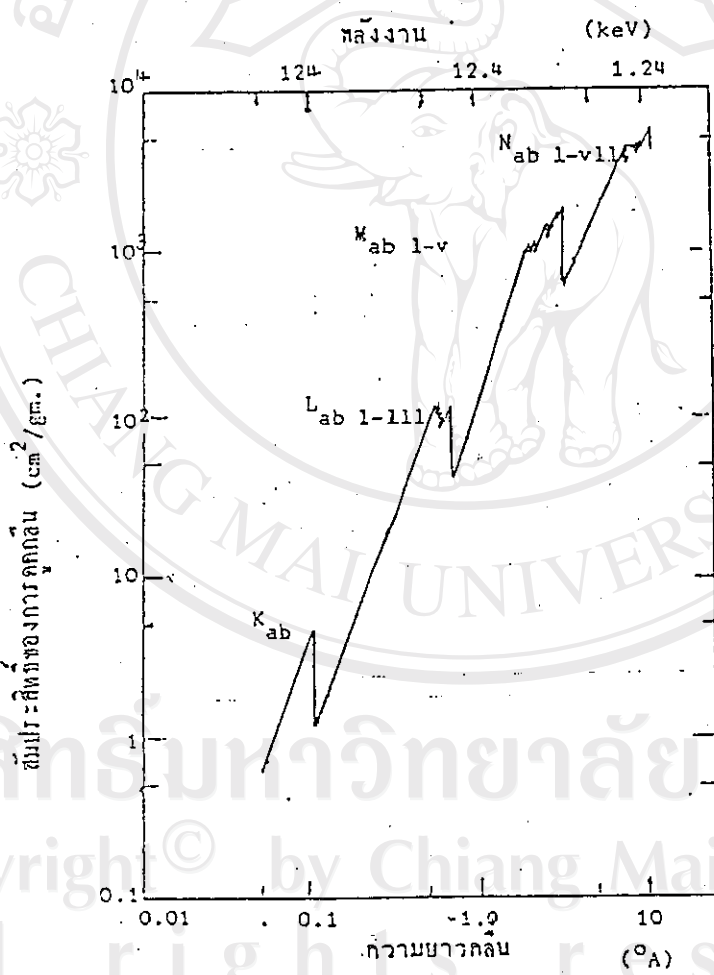
(2) ไอโซโทปที่สามารถตัวให้รังสีเบต้าหรือแอลฟ่า อนุภาคเบต้าหรือแอลฟ่าอาจทำให้อิเล็กตรอนของอะตอมหลุดออกไปเช่นเดียวกับข้อ 1.2.3.1 (ก) ทำให้เกิดการวิเคราะห์เอ็กซ์ของอะตอมหลุดดังแสดงในรูปที่ 1.2 (ง)

(3) ไอโซโทปที่สามารถตัวแบบจับอิเล็กตรอน (electron capture) การถ่ายตัวของไอโซโทปแบบนี้ นิวเคลียสจับอิเล็กตรอนของอะตอมเข้าไปทำให้เกิดที่ว่างของอิเล็กตรอนในอะตอมสูญ จึงเกิดการวิเคราะห์ของอะตอมสูญ ดังแสดงในรูปที่ 1.2 (ช)

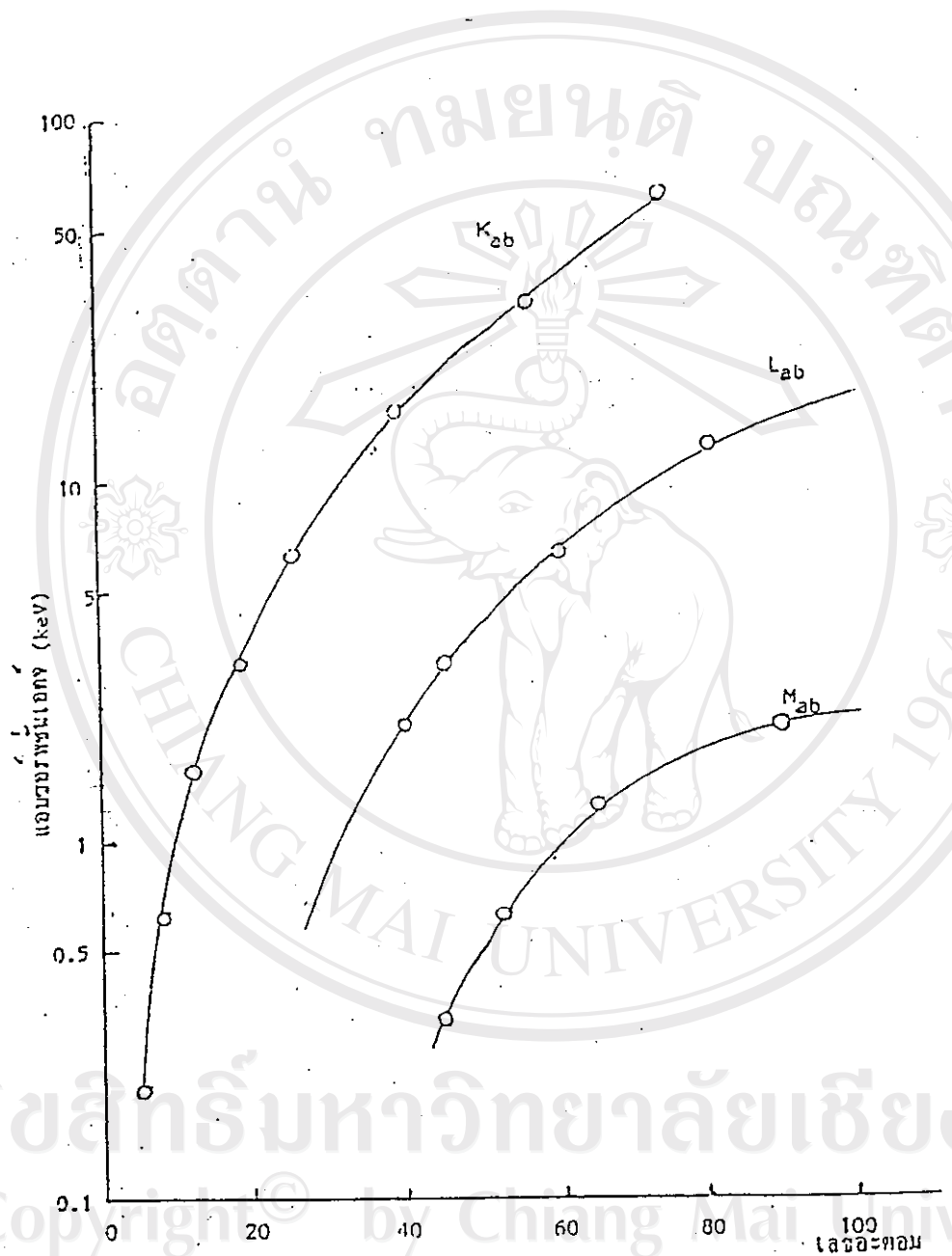
การวิเคราะห์เอ็กซ์ โดยการกระตุนอะตอมแบบปฐมภูมิและแบบต่อเนื่องจาก การถ่ายตัวของไอโซโทปรังสีที่สามารถตัวให้รังสีเบต้า นอกจากจะได้รังสีเอ็กซ์เฉพาะตัวของอะตอม ของธาตุแล้ว ยังเกิดรังสีเอ็กซ์ต่อเนื่อง (continuous X-ray) ที่เรียกว่า Bremsstrahlung หรือ white radiation ซึ่งเกิดจากการสูญเสียพลังงานคงเหลือของอิเล็กตรอน การกระตุนแบบทุติกุมิมีรังสีเอ็กซ์ต่อเนื่องน้อยกว่า ส่วนการวิเคราะห์แบบต่อเนื่องจากการถ่ายตัวของไอโซโทปรังสีที่สามารถตัวแบบจับ อิเล็กตรอน จะได้รังสีเอ็กซ์เฉพาะตัวอย่างเดียว

1.2.4 แอบซอร์พชั่นเอดจ์ (absorption edge)

ความสามารถในการดูดกลืนโฟตอนของสาร คือจากค่าสัมประสิทธิ์ของการดูดกลืน (absorption coefficient) ซึ่งเปลี่ยนแปลงตามขนาดของพลังงานของโฟตอนที่ตกกระทบ ค่าสัมประสิทธิ์ของการดูดกลืนโฟตอนจะลดลงเมื่อพลังงานของโฟตอนเพิ่มขึ้นแต่จะมีขนาดของพลังงานของโฟตอนขนาดหนึ่ง ที่สามารถดูดกลืนได้เป็นพิเศษ เรียกพลังงานที่จุดนั้นว่า เป็น แอบซอร์พชั่นเอดจ์ของสารนั้น ๆ ซึ่งตรงกับพลังงานยึดเหนี่ยว (binding energy) อิเล็กตรอนในอะตอม ดังแสดงในรูปที่ 1.3 และระหว่างมีหอยแอบซอร์พชั่นเอดจ์ตามลักษณะขั้นพลังงานของอิเล็กตรอน เช่น $1K_{ab}$, $3L_{ab}$ ($L_1 L_{11}$ และ L_{111}) เป็นต้น สำหรับแอบซอร์พชั่นเอดจ์ที่เด่นที่สุดในวงโคจรของอิเล็กตรอนที่มีมากกว่า 1 ชั้น พลังงานอยู่ วง L คือ L_{ab} วง M คือ M_{vab} วง N คือ N_{v11ab} เป็นต้น ค่า $K_{ab} > L_{ab} > M_{ab}$ และจะเป็นปฏิกาลกับเลขอะตอมของชาติดังแสดงในรูปที่ 1.4

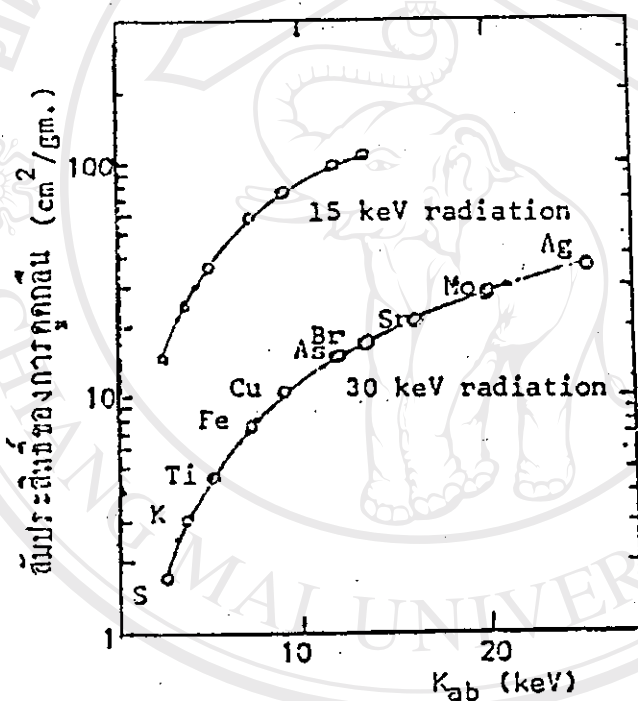


รูปที่ 1.3 ลักษณะแอบซอร์พชั่นเอดจ์ของธาตุเรเนียม^๖



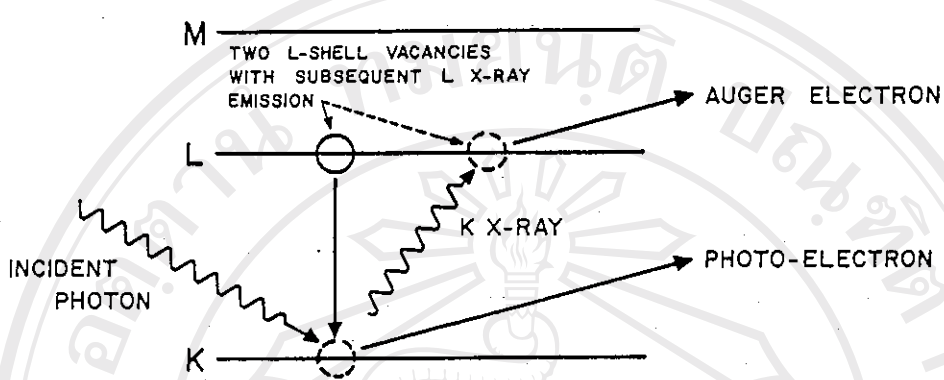
รูปที่ 1.4 ความสัมพันธ์ระหว่างエネอร์พชั่นและเลขอะตอม
ของ K_{ab} , L_{ab} และ M_{ab}

การกระตุ้นอะตอมให้เกิดการวาวรังสีโดยใช้ไฟฟotonนั้น หากใช้ไฟฟotonที่มีพลังงานมากกว่าอะตอร์พชั่นแอคจ์เล็กน้อย จะทำให้เกิดการวาวรังสีได้ดีกว่าไฟฟotonที่มีพลังงานสูงกว่าอะตอร์พชั่นแอคจ์มาก ๆ ทั้งนี้เนื่องจากไฟฟotonที่มีพลังงานสูงมีอำนาจทะลุทะลวงมาก จึงถูกสารคุณคืนได้น้อย จะเห็นได้ว่าสารที่มี K_{α} ระหว่าง 2-15 keV เมื่อถูกกระตุ้นโดยไฟฟotonขนาด 15 keV จะเกิดการวาวรังสีได้ดีกว่าเมื่อถูกกระตุ้นโดยไฟฟotonขนาด 30 keV ประมาณ 7 เท่า ดังแสดงในรูปที่ 1.5



รูปที่ 1.5 ค่าสัมประสิทธิ์การคุคกเลินไฟฟotonขนาดพลังงาน 15 keV และ 30 keV ของธาตุที่มี K_{α} ระหว่าง 2-15 keV⁷

เมื่อเกิดการวาวรังสีเอ็กซ์ รังสีเอ็กซ์เฉพาะตัวที่ได้ออกมาบางส่วนจะถูกคุคกเลินหายไป เช่น ไปชนอิเล็กตรอนในวงโคจรตัวมาทำให้อิเล็กตรอนหลุดออกไปตามผลของไอเจ (Auger effect) เป็นต้น ทำให้ปริมาณรังสีเอ็กซ์รวมที่ได้ (fluorescence yield) น้อยกว่าที่ควร ดังแสดงในรูปที่ 1.6



รูปที่ 1.6 แผนภาพแสดงการเกิด โอเจ เอฟเฟค

จากรูปที่ 1.6 เค เอ็กซ์เรย์ (K X-ray) ที่เกิดขึ้นจะหายไปและมีที่ว่างเกิดขึ้นสองแห่งในชั้น L ผลที่ได้ก็คือการเกิด แอด เอ็กซ์เรย์ (L X-ray) แทน ปริมาณรังสีเอ็กซ์ร่วงที่ได้สามารถหาได้จากสมการ⁶

$$\omega_K = \frac{\sum_i (n_K)_i}{N_K}$$

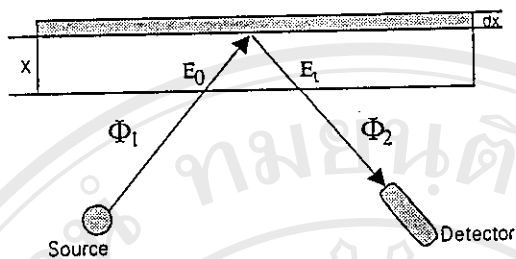
$$= \frac{n_{K\alpha_1} + n_{K\alpha_2} + n_{K\beta_1} + \dots}{N_K}$$

ω_K = ปริมาณรังสีเอ็กซ์ร่วงที่ได้

N_K = จำนวนที่ว่างทั้งหมดในชั้น K

$(n_K)_i$ = จำนวนที่ว่างในชั้น K ของชาตุ i

1.2.5 ความเข้มรังสีเอ็กซ์



รูปที่ 1.7 ลักษณะการกระตุนตัวอย่างและการเกิดรังสีเอ็กซ์ของชาตุ

เมื่อใช้โฟตอนที่มีพลังงานเดียว (E_0) จากต้นกำเนิดรังสี กระตุนตัวอย่างที่มีความเป็นเนื้อเดียวกันและมีความหนา D ความเข้มรังสีเอ็กซ์ (K_α) ของชาตุ i (I_i) ในตัวอย่างสามารถคำนวณได้จาก⁸

(1) ความน่าจะเป็น (P_1) ของการแผ่รังสีของโฟตอนพลังงาน E_0 ถึงระยะความลึก X หาได้จาก

$$P_1 = \exp [- \mu_m (E_0) \rho_m X / \sin \phi_1] \quad \text{--- 1}$$

โดยที่ $\mu_m (E_0)$ = สัมประสิทธิ์การดูดกลืนเชิงมวล (mass absorption coefficient)
ของสารตัวอย่างสำหรับโฟตอนที่มีพลังงาน E_0

ϕ_1 = มุมระหว่างรังสีที่เข้ามากระตุนกับสารตัวอย่าง

ρ_m = ความหนาแน่นของสารตัวอย่าง

(2) ความน่าจะเป็น (P_2) ของการเกิดที่ว่างของอิเล็กตรอนในอะตอมของชาตุ (i) บน

พื้นผิว X , $X + dX$ และของการเกิดการวาระสีในชั้น K_α หาได้จาก

$$P_2 = \tau_i (E_0) \omega_{K_i} (1 - \frac{1}{J_{K_i}} f_i \rho_i dX) \quad \text{--- 2}$$

โดยที่ $\tau_i(E_0)$ = Photoelectric mass absorption coefficient ของธาตุ i สำหรับ
พลังงานของโฟตอนที่เข้ามายกระตุ้น

f_i = สัดส่วนการเกิด K_α ใน K series ของธาตุ i

J_{K_i} = อัตราการป้ายชื่นของอิเล็กตรอนระหว่างชั้น K และ L
ของชาตุ i

ω_{K_i} = ปริมาณรังสีเอ็กซ์วาวที่ได้จากชั้น K ของธาตุ i

$\rho_i \, dx =$ มวลต่อหน่วยพื้นที่ (g/cm^2) ของรากที่ i บนพื้นผิว dx ที่
ความลึก x

เมื่อร่วมค่าตัวแปรต่าง ๆ ให้อยู่ในเทอม K_1 ซึ่งเป็นเทอมที่เกี่ยวข้องกับราศี 1 จะได้

$$P_2 = K_i \rho_i dX \quad \dots \quad 3$$

$$\frac{\text{เม็ด}}{\text{กิโลกรัม}} \cdot K_i = \tau_i(E_o) \cdot \omega_{K_i} \cdot \frac{(1 - 1/f_i)}{J_{K_i}}$$

(3) ความน่าจะเป็น (P_3) ของการเกิดการวารังสี จากพื้นผิว dX ที่ได้จากการบวัดรังสี

โดยที่ $\epsilon(E)$ = ประสิทธิภาพของหัววัดสำหรับพลังงาน (E)

$\mu_{\text{ม.}}(\text{E}_i)$ = สัมประสิทธิ์การดูดกลืนเชิงมวลของสารตัวอย่างสำหรับรังสีเอ็กซ์รา

ก. = ผลัจงานและตัวของแต่ละชาติที่เกิดการวาวรังสี

๘ = หมมะหัวร่างสีເອົກສ້າງກັບສາດຕ້ວອຍ

๘ = ความหนาแน่นของสารตัวอย่าง

กวางสีน้ำเงินค่อนจะเข้าไปในตัวอย่าง

เมื่อคุณสมการที่ 1 , 3 และ 4 เข้าด้วยกัน จะได้ความเพิ่มรังสีอีกช่วงจากน้ำ (i) บนพื้นผิว dX ที่มีความลึก dX ดังนี้

$$dI_i \propto \exp\left[\frac{-\mu_m(E_o)\rho_m X}{\sin\phi_1}\right] K_i \rho_i dx \epsilon(E_i) \exp\left[\frac{-\mu_m(E_i)\rho_m X}{\sin\phi_2}\right]$$

$$dI_i \propto K_i \rho_i \epsilon(E_i) \exp \left[\frac{-\mu_m(E_o) \rho_m X}{\sin \phi_1} \right] + \left[\frac{-\mu_m(E_i) \rho_m X}{\sin \phi_2} \right] dX$$

สำคัญหนึ่งให้ค่าสัมประสิทธิ์การดูดกลืนเชิงมวลรวม (total mass absorption coefficient) , (χ) ของสารตัวอย่างสำหรับรังสีที่เข้ามากระตุ้น (E_0) และจากสารตัวอย่างสำหรับรังสีอีกช่วง (E_1) เป็นคันธ์

โดยที่ μ_n จะหาได้จากผลรวมของค่าสัมประสิทธิ์การคูณกันที่เรียงตามลำดับของแต่ละราศี (μ_i) คูณกับค่าเศรษฐีที่น้ำหนักของแต่ละราศี (W_i) ในสารตัวอย่าง

$$\mu_m(E) = \sum_{i=1}^n w_i \mu_i(E)$$

$$\text{เมื่อ } d I_i = \alpha \cdot \mathbf{E}(E_i) K_i \cdot \exp(-\gamma_i P_m X) \rho_i dX$$

เมื่อ欣ทิเกรตสมการที่ 6 โดยใช้สารตัวอย่างที่มีความหนา D จะได้ปริมาณรังสีเอ็กซ์
วางแผนได้ในดังนี้

$$I_i = G \varepsilon(E_i) K_i \rho_i \frac{1}{\chi_i \rho_m} [1 - \exp(-\chi_i \rho_m D)]$$

ค่า w_i อาจหาได้จาก ρ_i / ρ_m ดังนี้

$$I_i = G \varepsilon(E_i) K_i w_i \frac{1 - \exp[-\chi_i \rho_m D]}{\chi_i}$$

และกำหนดให้

$$S_i = G \varepsilon(E_i) K_i$$

โดยที่ S_i เป็นความไวของการวิเคราะห์ธาตุ i

$$\text{ทำให้ } I_i = S_i w_i \frac{[1 - \exp(-\chi_i \rho_m D)]}{\chi_i} \quad 7$$

โดยที่ G = ประสิทธิภาพรวมในการวัดรังสี ซึ่งรวมถึงผลทางเรขาคณิตของการจัดระบบวัดรังสี ความแรง และพลังงาน โพตกอนของต้นกำเนิดรังสีและอื่น ๆ แต่ไม่เกี่ยวข้องกับธาตุในตัวอย่าง โดยตรง

1.2.6 การคำนวณปริมาณธาตุ

ปริมาณธาตุ i ในตัวอย่าง (w_i) สามารถคำนวณได้จาก

$$w_i = \frac{I_i}{S_i} \left[\frac{\chi_i}{1 - \exp(-\chi_i \rho_m D)} \right]$$

หรือ

$$w_i = \frac{I_i F_i}{S_i} \quad 8$$

F_i เป็นค่าแก้การดูดกลืนรังสีเอ็กซ์ (absorption correction factor) ของธาตุในสารตัวอย่าง ซึ่งแปรเปลี่ยนไปตามส่วนประกอบของตัวอย่างที่เป็นเหตุให้ความเข้มของรังสีเอ็กซ์ของธาตุ i (I_i) ที่วัดได้ลดไปจากความเป็นจริง S_i เป็นค่าความไวของการวิเคราะห์ธาตุ มีค่าคงที่สำหรับการวิเคราะห์ของธาตุใด ๆ สำหรับอุปกรณ์และเครื่องมือในห้องปฏิบัติการที่ใช้ในการทดสอบ ซึ่งได้จากการทดลองวัดตัวอย่างมาตรฐานที่ทราบส่วนผสมแน่นอน คั่งน้ำน้ำประมาณธาตุ (w_i) จึงปรับผันโดยตรงกับผลคุณของ I_i และ F_i

$$w_i \propto I_i F_i$$

ค่า F_1 ขึ้นอยู่กับความหนาเชิงมวล ($P_m D$) ของตัวอย่างที่เตรียมขึ้นมา และค่า χ_c ของสารตัวอย่างสำหรับพลังงานของโฟตอนที่เข้ามายกระตุ้น (E_0) และพลังงานรังสีเอกซ์รัฟของชาตุ (E_1) ค่า χ_c เป็นค่าที่แบ่งเป็นตามส่วนประกอบของชาตุในตัวอย่าง ซึ่งจะต้องคำนวณหรือทดลองวัดจากสารตัวอย่างที่ทำการวิเคราะห์

1.2.7 การคำนวณค่าสัมประสิทธิ์ของการดูดกลืนรวม (χ_i)

ตัวอย่างที่ทราบส่วนประกอบແเนื่องอน สามารถคำนวณค่า χ^2 จากสมการที่ 5 ดังนี้

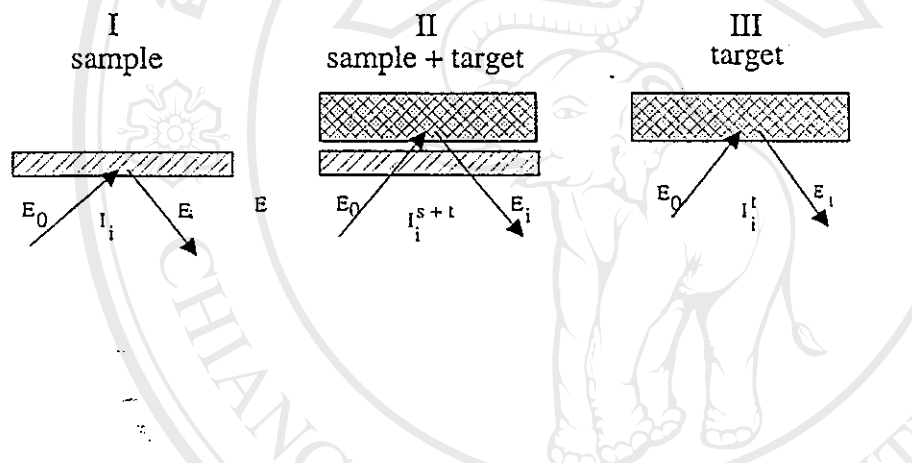
$$\chi_i = \mu_m(E_o) / \sin\phi_1 + \mu_m(E_i) / \sin\phi_2$$

1.2.8 การทดสอบหาค่าสัมประสิทธิ์ของการดูดกลืนรวม (χ_i)

ตัวอย่างที่ไม่ทราบส่วนประกอบที่แน่นอน จะไม่สามารถคำนวณ χ . ได้จึงต้องทำการทดสอบทางหากาค่า χ โดยอาศัยสมการ

เมื่อ I_0 และ $I =$ ความเข้มรังสีก่ออนและหลังการดูดกลืนตามลำดับ
 μ = สัมประสิทธิ์การดูดกลืนแบบเชิงเส้น (linear absorption coefficient)
 x = ความหนาของตัวอย่าง

ในการทดลองหาค่า χ_i ให้ใช้วิธีэмิสชัน – ทรานส์มิสชัน (Emission – Transmission method)⁹ โดยวัดความเข้มรังสีเอ็กซ์ของธาตุ i (I_i) จากตัวอย่างมาตรฐานโดยตรง และวัดความเข้มรังสีเอ็กซ์ของธาตุ i รวม (I_i^{s+t}) เมื่อนำตัวอย่างที่ทำการวิเคราะห์มาบังเบ้า (target) ศั้งแสดงในรูปที่ 1.8



รูปที่ 1.8 การจัดตัวอย่างและเบ้า ในการวัดรังสีเอ็กซ์ของธาตุ
เพื่อหาค่าแก่การดูดกลืนโดยวิธี E-T method

สมการที่ 10 อาจเขียนใหม่ เป็น

$$I_i^{s+t} - I_i^t = I_i^t \exp(-\chi_i \rho_m D) \quad \dots\dots\dots \text{11}$$

โดยที่ I_i = ความเข้มรังสีเอ็กซ์ของธาตุ i ที่ได้จากสารตัวอย่าง
 I_i^{s+t} = ความเข้มรังสีเอ็กซ์ของธาตุ i ที่ได้จากการวัดเมื่อนำตัวอย่างมาบังเบ้า
 I_i^t = ความเข้มรังสีเอ็กซ์ของธาตุ i เมื่อวัดเบ้าโดยตรง

$$\text{ดังนั้น} \quad \ln \left(\frac{I_i^{s+t}}{I_i^t} - 1 \right) = -\chi_i \rho_m D$$

1.2.9 ความหนาภิกติของตัวอย่างที่ใช้ในการวิเคราะห์โดยวิธีอิเกชาร์ย์ฟลูออร์เซนซ์⁸

จากสมการที่ (7) ถ้าสารตัวอย่างมีความหนาอนันต์ (Infinite thickness) โดยที่ $\chi_i \rho_m D$ มีค่าเข้าใกล้ ∞ ทำให้สมการที่ 8 เก็บใหม่ได้เป็น

$$I_i^\infty = \frac{S_i W_i}{\chi_i} \quad \dots \quad 13$$

คั่งน้ำมันสำหรับการที่ 13 ไปหารสมการที่ 7 จะได้

$$\frac{I_i}{I_i^\infty} = [1 - \exp(-\chi_i \rho_m D)]$$

$$\text{ຫວັງ} \quad \chi_i P_m D = -\ln \left[1 - \frac{I_i}{I_{\infty}} \right]$$

ถ้าความหนากวิกฤติของตัวอย่างมีความหนา 99.9 % ของความหนาอนันต์ ทำให้ค่า

$I_1 / I_1^{\infty} = 0.999$ จะได้ค่าความหนาบริการติดของตัวอย่าง ($P_m D_c$)_c เท่ากับ 6.9068 μm

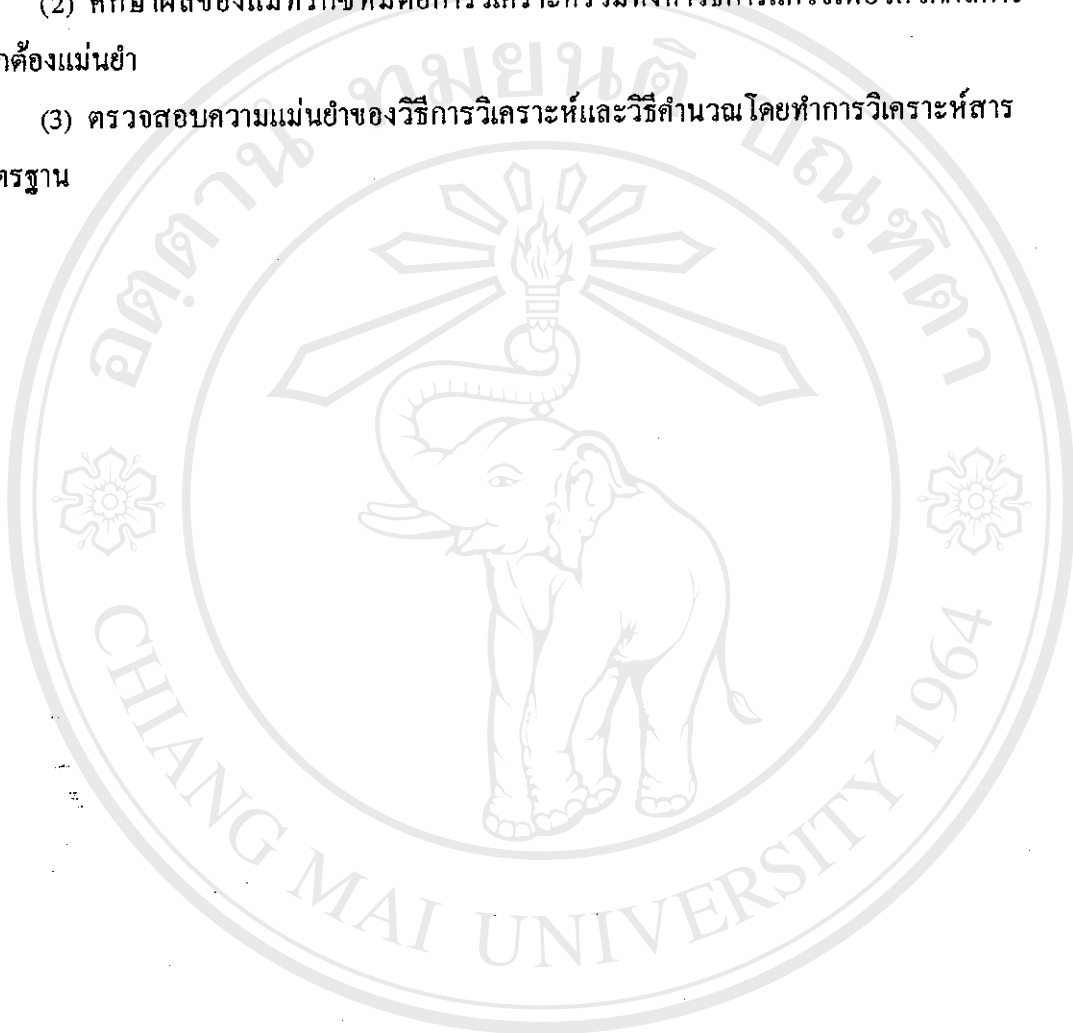
ดังนั้นตัวอย่างที่จะใช้ในการทดสอบเมื่อคำนวณหาค่า χ_i ในการแก้ค่าการคูคูกลินรังสี เอ็กซ์ของธาตุของสารตัวอย่างโดย E - T method ต้องมีความหนาไม่เกินความหนาวิกฤติสำหรับการ วิเคราะห์แต่ละธาตุ โดยทั่วไปตัวอย่างที่ใช้ในการวิเคราะห์โดยวิธีเอ็กซ์เรย์ฟลูออเรสเซนซ์ ต้องมีความ หนาไม่เกิน 99.5 % ของความหนาอนันต์ หรือค่า $\chi_i P_m D$ ต้องไม่เกิน 5.298 เพราะจะทำให้ไม่ สามารถวัดค่า $I_{\text{sample}}^{s+} - I_i$ ในสมการ 12 ได้

1.3 วัตถุประสงค์และขอบเขตของการวิจัย

(1) ศึกษาวิธีการวิเคราะห์ปริมาณธาตุ Fe , Cu , Zn และ Mn ซึ่งเป็นธาตุปริมาณน้อย ในตัวอย่างดินด้วยวิธีไอโซโทปอิเล็กตรอนฟลูออเรสเซนซ์โดยใช้พลาโนนียม-23 เป็นต้นกำเนิดรังสี และทำการวิเคราะห์ผลลัพธ์ด้วยหัววัด Si(Li) ซึ่งเป็นหัววัดแบบสารกึ่งตัวนำ

(2) ศึกษาผลของแมทริกซ์ที่มีต่อการวิเคราะห์รวมทั้งหาวิธีการแก้ไขเพื่อให้ได้ผลการทดลองที่ถูกต้องแม่นยำ

(3) ตรวจสอบความแม่นยำของวิธีการวิเคราะห์และวิธีคำนวณ โดยทำการวิเคราะห์สารตัวอย่างมาตรฐาน



ลิขสิทธิ์มหาวิทยาลัยเชียงใหม่
 Copyright © by Chiang Mai University
 All rights reserved